



DOI: 10.20514/2226-6704-2026-16-3-238-240
EDN: XIIGIO



ERRATUM

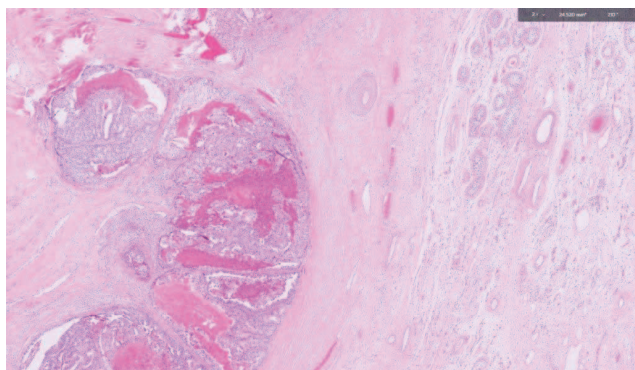
К статье: Наджда Салех Бен Гашир, Бабита Алингал Мохамед, Ареф Чехаль и др. ЧИСТАЯ АДЕНОКАРЦИНОМА С КИШЕЧНОЙ ДИФФЕРЕНЦИРОВКОЙ ЯИЧКА КАК ПЕРВОЕ ПРОЯВЛЕНИЕ ТЕРАТОМЫ ЯИЧКА: КЛИНИЧЕСКИЙ СЛУЧАЙ И ОБЗОР ЛИТЕРАТУРЫ ПО ТАКТИКЕ ВЕДЕНИЯ. Архивъ внутренней медицины. 2026; 16(2): 137-144. DOI: 10.20514/2226-6704-2026-16-2-137-144. EDN: RXLWMO

Najla Saleh Ben Ghashir, Babitha Alingal Mohamed, Aref Chehal et al Pure Adenocarcinoma with Intestinal Differentiation of The Testis as The First Presentation of a Testicular Teratoma: A Case Report with Literature Review of Management. The Russian Archives of Internal Medicine. 2026; 16(2): 137-144. DOI: 10.20514/2226-6704-2026-16-2-137-144. EDN: RXLWMO

Исправление от редакции

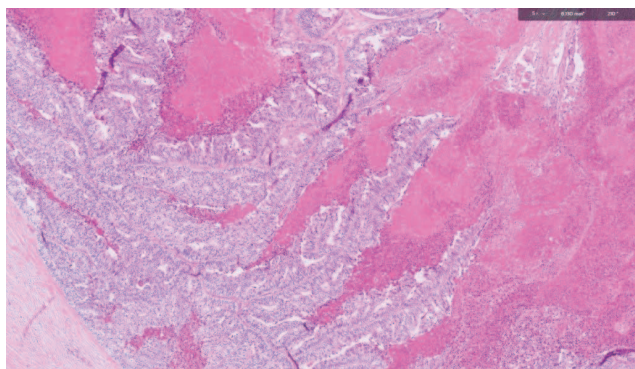
При публикации этой статьи в № 2 журнала за 2026 год по технической причине (при вёрстке номера) были пропущены все панели к рисункам (Панель 1, подпанели 1.A–1.H; Панель 2, подпанели 2.A–2.D.), иллюстрирующие гистоморфологию и иммунопрофиль первичной опухоли яичка и метастатическую аденокарциному в забрюшинном лимфатическом узле. Ниже публикуются недостающие панели с подписями на русском и английском языке. Редакция приносит извинения авторам и читателям.

Панель 1. Гистоморфология и иммунологический профиль первичной опухоли яичка Panel 1. Histomorphology and immunoprofile of primary testicular tumor



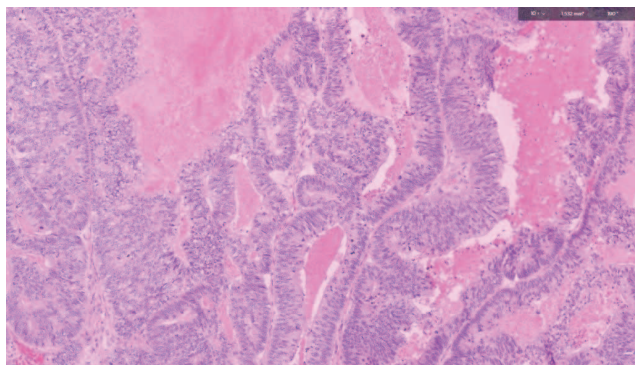
1.A. Окраска гематоксилином и эозином (HandE), увеличение $\times 2$. Паренхима яичка (справа) и опухоль (слева)

1.A. HandE-stained section (X2 magnification) showing testicular parenchyma (right side) and tumor (left side)



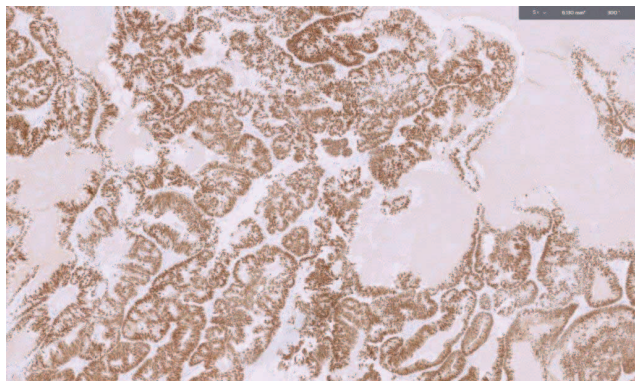
1.B. Окраска гематоксилином и эозином (HandE), увеличение $\times 5$. Аденокарцинома с обширными участками некроза

1.B. HandE-stained section (X5 magnification) showing an adenocarcinoma with extensive necrosis

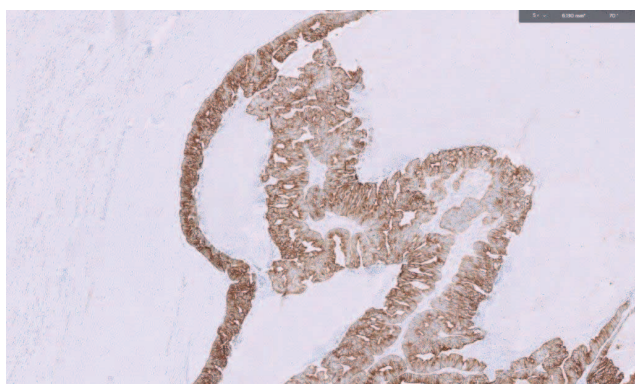


1.C. Окраска гематоксилином и эозином (HandE), увеличение $\times 10$. Аденокарцинома с кишечной дифференцировкой, представленная цилиндрическими клетками со стратифицированными ядрами, расположенными в тубулоацинарном паттерне

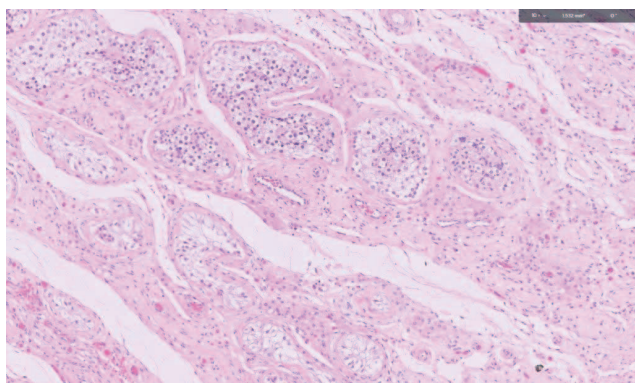
1.C. HandE-stained section (X10 magnification) showing an adenocarcinoma with enteric differentiation comprising columnar cells with stratified nuclei, arranged in a tubuloacinar pattern



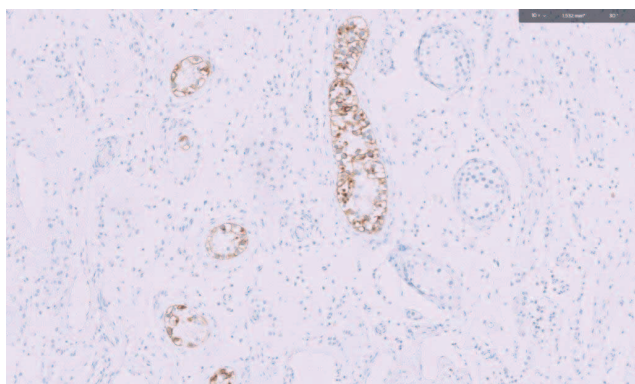
1.D. Клетки опухоли демонстрируют сильное и диффузное положительное окрашивание на CDX2, что подтверждает кишечную дифференцировку
1.D. Tumor cells are strongly and diffusely positive for CDX2 supporting enteric differentiation



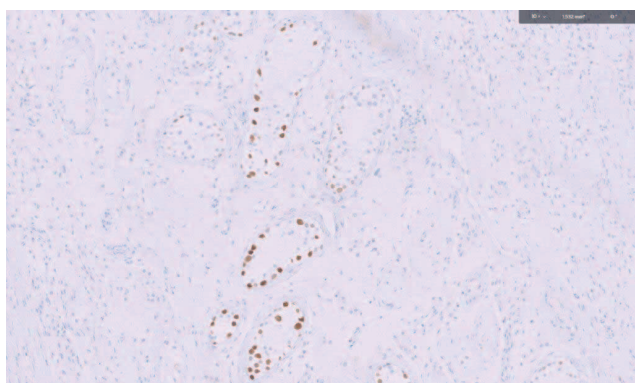
1.E. Клетки опухоли демонстрируют положительное окрашивание на CK20, что подтверждает кишечную дифференцировку
1.E. Tumor cells are positive for CK20 supporting enteric differentiation



1.F. Окраска гематоксилином и эозином (HandE), увеличение $\times 10$. Семенные каналцы с герминогенной неоплазией in situ (GCNIS)
1.F. HandE stained section ($\times 10$ magnification) showing seminiferous tubules with GCNIS

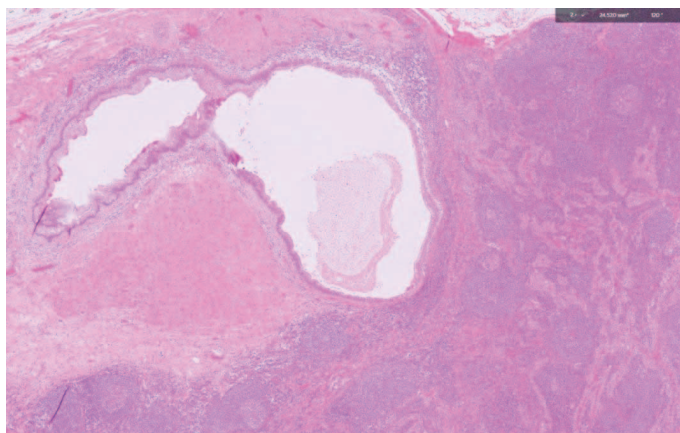


1.G. GCNIS иммунореактивна к PLAP (положительное окрашивание)
1.G. GCNIS is immunoreactive for PLAP



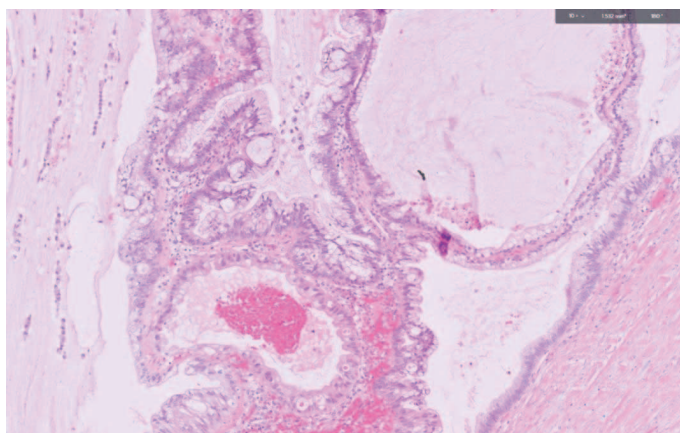
1.H. GCNIS иммунопозитивна к OCT4 (положительное окрашивание)
1.H. GCNIS is immunopositive for OCT4

Панель 2. Метастатическая аденокарцинома в забрюшинном лимфатическом узле
Panel 2. Metastatic adenocarcinoma in retroperitoneal lymph node



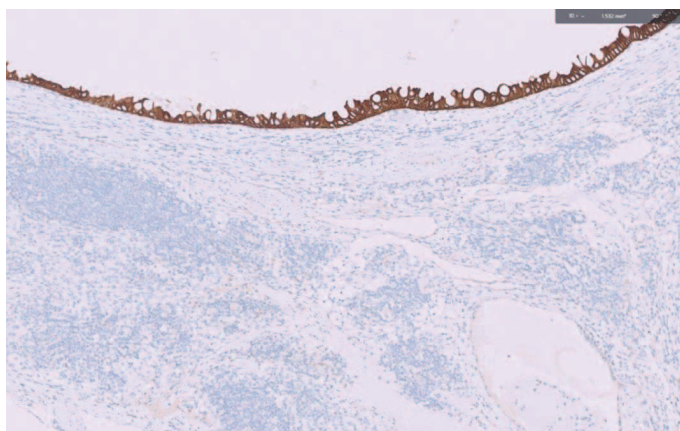
2.A. Окраска гематоксилином и эозином (HandE), увеличение $\times 2$. Метастатическая аденокарцинома с поражением лимфатического узла

2.A. HandE-stained section ($X2$ magnification) showing metastatic adenocarcinoma involving lymph node



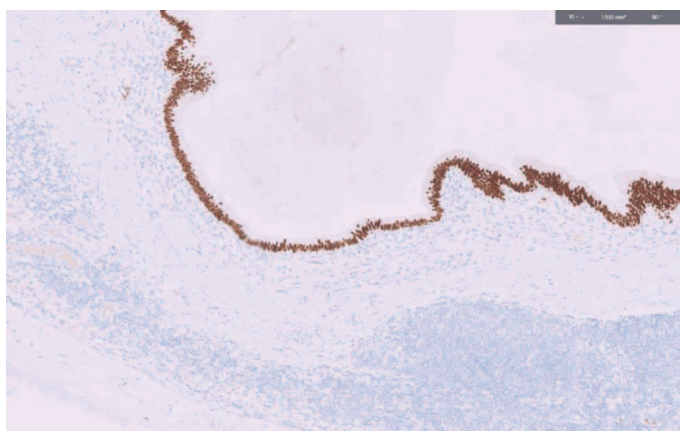
2.B. Окраска гематоксилином и эозином (HandE), увеличение $\times 10$. Метастатическая аденокарцинома с муцинозными (слизистыми) характеристиками

2.B. HandE-stained section ($X10$ magnification) showing metastatic adenocarcinoma with mucinous features



2.C. Метастатическая аденокарцинома иммунореактивна к CK20 (положительное окрашивание)

2.C. Metastatic adenocarcinoma immunoreactive for CK20



2.D. Метастатическая аденокарцинома иммунопозитивна к CDX2 (положительное окрашивание)

2.D. Metastatic adenocarcinoma immunopositive for CDX2